

走行荷重による一対辺固定、他辺単純支承
矩形板の強制振動

九州大学 工学部 正員 山崎徳也

〃 〃 ○ 横田漢

1. 緒言

橋梁に作用する活荷重には種々あるが、そのうち列車、自動車などの走行荷重が最も重要であり、かかる荷重を受ける場合について、桁と見做すうる鉄道プレートガーダー橋などの研究は古くから数多くなされており¹⁾、ほとんど完明されていると言ふても過言ではない。しかし、道路橋の場合は桁と見做すよりはむしろ板として取り扱う方が妥当であり、かかる分野の既往研究として、Modal Analysis による平井氏²⁾の解法や板の自重を無視したうえで板を重ね、式 Δ を定数をもつスプリング³⁾置換して成因、平井氏³⁾の研究などがあるに過ぎず、今後解明されるべき問題が多い。かかる観点より、著者らは板の振動に関する研究を行ってきだが、本論文は先に報告した周辺単純支承矩形板に走行荷重が作用する場合の解法に引き続き、同様の手法を用いて一対辺固定、他辺単純支承矩形板の走行荷重による動的応答の解法を提示するものである。

2. 解法

強制力 $p(x, y, t)$ を受ける等方性平面板の振動は、荷重質量による慣性力を無視すれば一般に次の二式の微分方程式で表わされる。

$$\frac{\partial^4 w}{\partial x^4} + 2 \frac{\partial^4 w}{\partial x^2 \partial y^2} + \frac{\partial^4 w}{\partial y^4} + \frac{\rho h}{D} \frac{\partial^2 w}{\partial t^2} = \frac{p(x, y, t)}{D} \quad (1)$$

ただし w : 位変 (x, y) の t 時刻における板のたわみ, h : 板の厚さ,

ρ : 板の密度, D : 板剛度

図-1 に示すことを矩形板において、辺 OA を x 軸、辺 OB を y 軸とし、辺 OA と辺 OB の長さをそれぞれ a , b とする。いま、図に示す任意走行荷重 $p(x, y, t)$ が点 $(0, y_0)$ より一定速度 v_0 で x 軸に平行に移動するものと考える。しかるとき、式(1)は次式のように表わされる。

$$\frac{\partial^4 w}{\partial x^4} + \frac{2}{\varepsilon^2} \frac{\partial^4 w}{\partial x^2 \partial y^2} + \frac{1}{\varepsilon^4} \frac{\partial^4 w}{\partial y^4} + k^2 \frac{\partial^2 w}{\partial t^2} = \frac{a^4}{D} p(x, y, t) \quad (2)$$

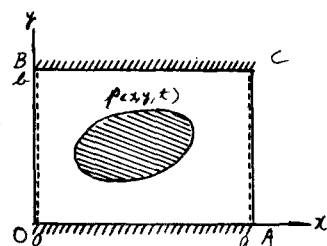


図-1

ただし $\varepsilon = x/a$, $\eta = y/b$, $k = v_0 a \sqrt{8R/D}$, $t = v_0 t/a$, $\varepsilon = y/b$
走行荷重 $p(x, y, t)$ を重正弦 Fourier 級数に展開すれば次式のようになる。

$$p(x, y, t) = \sum_{m=0}^{\infty} \sum_{n=1}^{\infty} p_{mn} \sin m\pi\varepsilon \sin n\pi\eta \sin m\pi t \quad (3)$$

ここで、種々の走行荷重に対する p_{mn} の諸値は表-1 のとくである。

また、図-1 に示す矩形板の境界条件は次式で与えられる。

$$\dot{w}_x = 0, 1; \quad w_y = 0, \quad M_y = -\frac{D}{a^2} \left(\frac{\partial^2 w}{\partial x^2} + \frac{1}{\varepsilon^2} \frac{\partial^2 w}{\partial y^2} \right) = 0$$

$$\eta = 0, 1, \quad w = 0, \quad \frac{\partial w}{\partial \eta} = 0 \quad (4)$$

式(2)の余函数を w_0
特殊解を w_0 とすれば
式(2)の一般解 w は
次式で表わされる。

$$w = w_0 + w_1 \quad (5)$$

図-1 に示す二種類の矩形板の自由振動

の解には周知のとく一般に次式で与えられる。

$$w_1 = \sum_{m=1}^{\infty} \sum_{n=1}^{\infty} \bar{w}_{mn} \left[A_{mn} \sin \frac{\pi}{L} m \eta + B_{mn} \cos \frac{\pi}{L} m \eta \right] \quad (6)$$

ただし \bar{w}_{mn} は A_{mn}, B_{mn} はそれぞれ m, n 次の振動モードおよび固有円振動数であり、
また、 A_{mn}, B_{mn} は初期条件により定まる未定係数である。

また、図-1 に示す二種類の矩形板の強制振動の解には w_0 を次式のとく仮定する。

$$w_0 = \sum_{m=1}^{\infty} \sum_{n=1}^{\infty} \bar{w}_{mn}(\xi, \eta) \sin m \pi \xi \quad (7)$$

式(3), (7)を式(2)に代入のうえ整理すれば次式をうる。

$$\frac{\partial^2 w_0}{\partial \xi^2} + \frac{2}{\xi} \frac{\partial^2 w_0}{\partial \xi \partial \eta} + \frac{1}{\xi^2} \frac{\partial^2 w_0}{\partial \eta^2} - (\kappa m \pi)^2 w_0 = -\frac{a^4}{D} p_{mn} \sin m \pi \xi \sin n \pi \eta \quad (8)$$

式(8)の余函数および特殊解とともに w_{mn} および w_{mn} を次式を仮定する。

$$w_{mn} = Y_{mn}(\eta) \sin m \pi \xi \quad (9)$$

$$Y_{mn} = f_{mn} \sin m \pi \xi \sin n \pi \eta \quad \therefore f_{mn} \text{ は任意定数。} \quad (10)$$

式(9)を式(8)の齊次方程式に代入すれば $Y_{mn}(\eta)$ が次式のとく算定される。

$$Y_{mn}(\eta) = A_{mn} \sinh m \pi \lambda_m \eta + B_{mn} \cosh m \pi \lambda_m \eta + C_{mn} \sinh n \pi \lambda'_m \eta + D_{mn} \cosh n \pi \lambda'_m \eta \quad (11)$$

ただし $\lambda_m^2 = \xi^2 (m^2 + u)$, $\lambda'_m^2 = \xi^2 (m^2 - u)$, $u = \kappa m / \pi$ あり, A_{mn}, D_{mn}
は積分定数である。

式(11)を式(8)に代入すれば f_{mn} が求まり次式のとく求められる。

$$f_{mn} = -\frac{a^4}{D} \times \frac{p_{mn}}{\pi^4 \{(m^2 + n^2 \xi^2)^2 - u^2\}} \quad (12)$$

式(9), (10), (11), (12)より式(8)の一般解 w_{mn} が次式のとく求められる。

$$w_{mn} = (A_{mn} \sinh m \pi \lambda_m \eta + B_{mn} \cosh m \pi \lambda_m \eta + C_{mn} \sinh n \pi \lambda'_m \eta + D_{mn} \cosh n \pi \lambda'_m \eta) \sin m \pi \xi$$

$$+ \frac{a^4}{D} \times \frac{P_{mn}}{\pi^4 \{(m^2+n^2/\epsilon^2)^2 - \mu^2\}} \sin m\pi \xi \sin n\pi \eta \quad (13)$$

式(13)を式(4)の境界条件式に代入すれば積分定数 $A_{mn} \sim D_{mn}$ が次式の二つとくえられる。

$$A_{mn} = f_{mn} A'_{mn}, \quad B_{mn} = f_{mn} B'_{mn}, \quad C_{mn} = f_{mn} C'_{mn}, \quad D_{mn} = f_{mn} D'_{mn} \quad (14)$$

以下

$$A'_{mn} = \frac{d \cosh \pi \beta - \beta \cosh \pi d + 2 \lambda_m' \{ 1 - (-1)^n (\cosh \pi \lambda_m - \cosh \pi \lambda_m') \}}{-4\gamma - d^2 \cosh \pi \beta + \beta^2 \cosh \pi d} n$$

$$B'_{mn} = \frac{\lambda_m \sinh \pi \lambda_m' \{ \cosh \pi \lambda_m - (-1)^n \} - \lambda_m' \sinh \pi \lambda_m \{ \cosh \pi \lambda_m' - (-1)^n \}}{4\gamma + d^2 \cosh \pi \beta - \beta^2 \cosh \pi d} \cdot 2n$$

$$C'_{mn} = \frac{\lambda_m \{ (-1)^n (\cosh \pi \lambda_m - \cosh \pi \lambda_m') + 1 \} + \lambda_m' \sinh \pi \lambda_m \sinh \pi \lambda_m' - \lambda_m \cosh \pi \lambda_m \cosh \pi \lambda_m'}{-4\gamma - d^2 \cosh \pi \beta + \beta^2 \cosh \pi d} \cdot 2n$$

$$D'_{mn} = -B'_{mn}, \quad \alpha = \lambda_m - \lambda_m', \quad \beta = \lambda_m + \lambda_m', \quad \gamma = \lambda_m \lambda_m'$$

他方、式(2)の一般解 w は式(5), (6), (7) より次式で表わされる。

$$W = \sum_{m=1}^{\infty} \sum_{n=1}^{\infty} \bar{W}_{mn} \left[\bar{A}_{mn} \sin \frac{\pi c}{L} \bar{\mu}_{mn} \tau + \bar{B}_{mn} \cos \frac{\pi c}{L} \bar{\mu}_{mn} \tau \right] + \sum_{m=1}^{\infty} \sum_{n=1}^{\infty} \bar{w}_{mn} (\varphi, \tau) \sin m\pi \xi \tau \quad (15)$$

いま、次の二つを初期条件を与える。

$$t = 0; \quad W = \frac{\partial w}{\partial t} = 0 \quad (16)$$

式(15)を式(16)に代入すれば未定係数 \bar{A}_{mn} , \bar{B}_{mn} がそれそれぞれ次の二つとくえられる。

$$\bar{A}_{mn} = -\bar{w}_{mn} (\varphi, \tau) \times \frac{km}{\bar{w}_{mn} \cdot \pi \bar{\mu}_{mn}}, \quad \bar{B}_{mn} = 0 \quad (17)$$

式(15)を式(16)に代入すれば、結局本題の矩形板に走行荷重が作用する場合のための動的応答式が次の二つとくえられる。

$$W = -\frac{a^4}{D} \sum_{m=1}^{\infty} \sum_{n=1}^{\infty} f'_{mn} \bar{w}'_{mn} (\varphi, \tau) \left[\sin m\pi \tau - m\pi \frac{\sin \bar{\mu}_{mn} \tau}{\bar{\mu}_{mn}} \right] \quad (18)$$

以下

$$f'_{mn} = \frac{P_{mn}}{\pi^4 \{(m^2+n^2/\epsilon^2)^2 - \mu^2\}}, \quad \bar{\mu}'_{mn} = \frac{\pi^2 \bar{\mu}_{mn}}{L^2}$$

$$\bar{w}'_{mn} (\varphi, \tau) = (A'_{mn} \sinh \pi \lambda_m \eta + B'_{mn} \cosh \pi \lambda_m \eta + C'_{mn} \sinh \pi \lambda_m' \eta + D'_{mn} \cosh \pi \lambda_m' \eta) \sin m\pi \xi \\ + \sin m\pi \xi \sin n\pi \eta$$

3. 計算例

集中荷重が $\eta_0 = 0.5$ の線上を移動する場合について式(18)の二つを算定すれば次の通りである。

表-1 および 3 case (2) の P_{mn} を式(18)に代入すれば本例の二つは次の内容となる。

$$W = \frac{4P_0 a^2}{D \epsilon} \sum_{m=1}^{\infty} \sum_{n=1}^{\infty} f''_{mn} \bar{w}'_{mn} (\varphi, \tau) \left[\sin m\pi \tau - m\pi \frac{\sin \bar{\mu}_{mn} \tau}{\bar{\mu}_{mn}} \right] \quad (19)$$

$$f''_{mn} = \frac{\sin n\pi \eta_0}{\pi^3 [(m^2 + n^2/\epsilon^2) - \mu^2]}$$

板の辺長比 $\epsilon = 1$ の場合における式(9)の式
を、速度パラメータ $k = 25a\sqrt{3k/D} = 0.3$
 $, 0.5, 0.7, 1.0$ に対して算出し、板の中央
点 $\xi = \eta = 0.5$ における動的たわみ影響線
を、 $k = 0$ に対する静的たわみ影響線
とともに図示すれば、図-2 の結果をうなづく。

また、 $k = 1.0$ に対して、ある瞬間にかけられた荷重位置とたわみ曲線を荷重走行線上で以
て $k = 0.5$ の断面上で開いて算出し、図示す
れば図-3 の結果をうなづく。

今、上記たわみの算出に当り、厳密には m, n について無限数の f_{mn} の値が必要であ
るが、 2×2^n は $m, n = 1, 2, 3$ の 2^{12} 計
算を行つべし。

図-2より、 k の値をなめかして速度の増加比
トモク、中央点に最大たわみを生ぜしめた荷
重の位置は漸次右側へずれ、また静的つり合
いからの変動はその振巾が大きくなるが、そ
の周期および振動数は k の値のいかんにかか
わらず、同じ矩形板の自由振動にかけたそれ
とほほ等しいことを読み取れる。

さうして、たわみの増加率に開いては、本例
においては $k = 0.5$ の場合が最大である。

4. 結語

本法の二重級数の収束は極めて早く、算例
におけるたわみの応答計算では収束判定値を
 10^{-6} とした場合、 $m = n = 10$ で 2^{12} 収束す
ることが認められた。

- (参考文献)
- 1) 例へば 三瀬 国井:「走行荷重による橋桁の強制振動」、九大弹性工学研究所報告-1-(1943)
Timoshenko: "On the forced vibration of Bridge", Proc. Mag., 43, (1922)
 - 2) 平井:「移動荷重を受けた相対2辺単純支持、他の2辺自由な直交異方性板の振動
性状」K.平井, 土木学会論文集, 第92号, 昭和38年4月
 - 3) 成岡平井:「走行荷重による矩形板の振動に關する一研究」土木学会論文集, 第32号
 - 4) 山崎 権田:「走行荷重による四辺単純支持矩形板の強制振動」九大工芸, 第41巻
 - 5) $\omega = \omega_0 + \omega_1$ 動的增加率と $(\omega_d - \omega_0) \times 100 / \omega_0$, ω_d : 動的最大たわみ, ω_0 : 静的最大たわみ

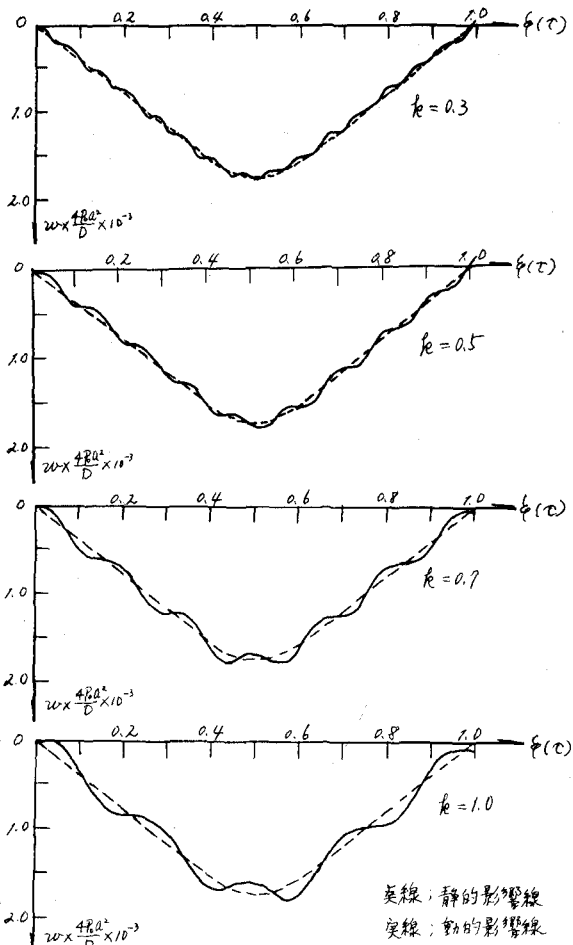


図-2

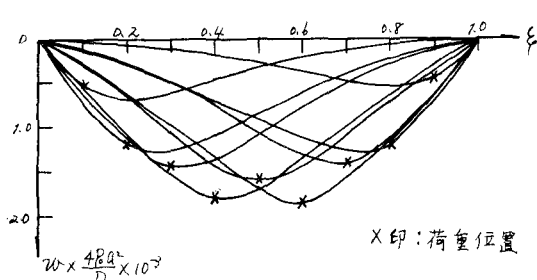


図-3